

УДК 621.01

Ж. Ж. БАЙГУНЧЕКОВ¹, Б. К. НУРАХМЕТОВ¹, Э. М. МАЖИЕВА²

МАТРИЧНЫЕ УРАВНЕНИЯ ЗАМКНУТОСТИ КОНТУРОВ ПРОСТРАНСТВЕННОГО ПАРАЛЛЕЛЬНОГО МАНИПУЛЯТОРА ВИДА ВВВСССС

Получены символические и матричные уравнения замкнутости контуров пространственного параллельного манипулятора вида ВВВСССС (В – вращательная, С – сферическая кинематические пары).

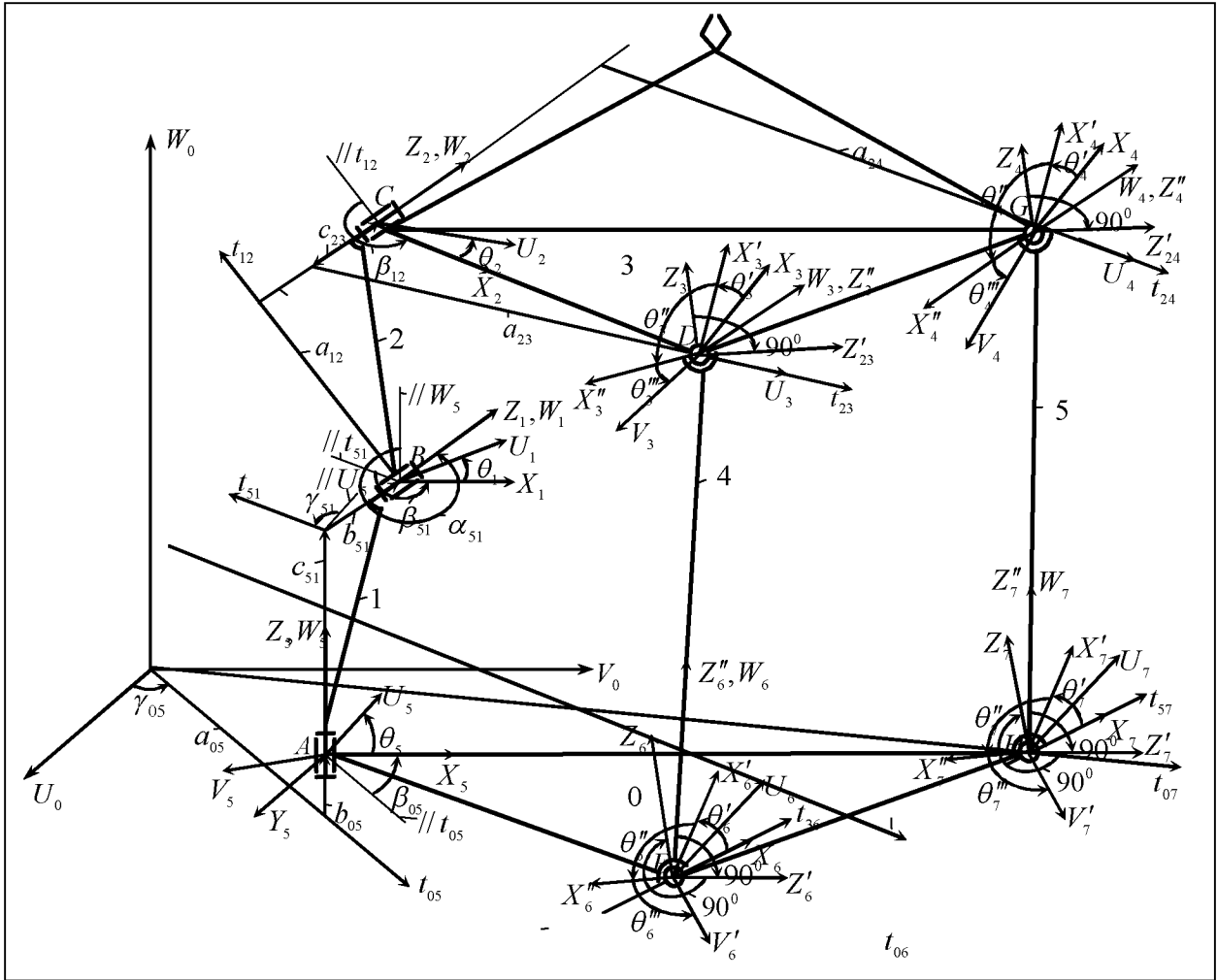
Пусть пространственный параллельный манипулятор (ППМ) содержит n кинематических пар, m обобщенных координат и L независимых контуров, а каждый контур l , ($l=1,2,\dots,L$) состоит из n_l звеньев.

Для упрощения записи уравнений кинематики и динамики контуры выбираются таким образом, чтобы все они содержали стойку и чтобы каждый контур отходил от стойки в одной и той же точке. Звенья каждого контура нумеруются последовательно, начиная со стойки, которой приписывается номер 1. Примыкающее к стойке через общую кинематическую пару звено получает номер 2 и т.д. вдоль контура до звена n_l , которое снова примыкает к стойке, замыкая контур. Заметим, что звено нулевой длины (например, при моделировании пружины двумя звеньями) также нумеруется и что какое-нибудь звено может входить более чем в один контур. Таким образом, a -му звену контура l приписывается пара индексов (l,a) .

Системы координат, жестко связанные с каждым элементом в каждой кинематической паре, также имеют пару индексов (l,a) . Например, системы координат $X_{l,a}Y_{l,a}Z_{l,a}$ и $U_{l,a}V_{l,a}W_{l,a}$ жестко соединены с элементами кинематической пары (l,a) , соединяющей звено (l,a) с звеном $(l,a+1)$.

Вектор $P_{l,a}^k$ ($k=1,2,3$) переменных параметров кинематических пар подразделяется на зависимые переменные $h^{(k)}(l,a)$, ($1 \leq (l,a) \leq n-m$) и независимые переменные (обобщенные координаты) $q(l,a)$, ($n-m+1 \leq (l,a) \leq n$). Здесь k – число переменных параметров кинематической пары (l,a) , которое определяется степенями свободы данной кинематической пары. Например, для одноподвижных кинематических пар (вращательная, поступательная, винтовая) $k=1$, для двухподвижных кинематических пар (цилиндрическая, сферическая с пальцем) $k=2$ и для трехподвижных кинематических пар (сферическая, плоскостная) $k=3$. В рассматриваемом ППМ позиционирующего типа с жесткой платформой в качестве входных кинематических пар использованы вращательные кинематические пары. Поэтому для обобщенных координат $q(l,a)$ $k=1$. Таким образом, каждая кинематическая пара ППМ снабжена своим определенным номером, причем выходные и промежуточные кинематические пары нумеруются от 1 до $(n-m)$, а входные кинематические пары – от $(n-m+1)$ до n .

Изложенное продемонстрируем для ППМ вида ВВВСССС (см. рисунок). Рассматриваемый ППМ имеет 7 кинематических пар, $n_l=5$ звеньев, $m=1$ обобщенных координат и $L=2$ контура. Соответствие между номерами кинематических пар ($P_{l,a}$) и осями $Z_{l,a}$, относительно которых происходит движение в этих парах, представлено в таблице.



Пространственный параллельный манипулятор вида ВВСССС

l	1	1	1	1	1	2	2	2	2	2
a	1	2	3	4	5	1	2	3	4	5
$(P_{l,a})$	5	1	2	3	6	5	1	2	4	7

Запишем символические уравнения замкнутости контуров рассматриваемого ППМ вида ВВСССС

контур 1:

$$\underset{\substack{\curvearrowright \\ \text{Пара 0}}} { [P_0] } \underset{\substack{\curvearrowright \\ \text{Звено 0}}} { \begin{bmatrix} a_{05} \\ 0 \\ b_{05} \\ \beta_{05} \\ 0 \\ \gamma_{05} \end{bmatrix} } \underset{\substack{\curvearrowright \\ \text{Пара 5}}} { [P_5]^B(\theta_{15}) } \underset{\substack{\curvearrowright \\ \text{Звено 1}}} { \begin{bmatrix} 0 \\ \alpha_{11} \\ b_{11} \\ \beta_{11} \\ c_{11} \\ \gamma_{11} \end{bmatrix} } \underset{\substack{\curvearrowright \\ \text{Пара 1}}} { [P_1]^B(\theta_{11}) } \underset{\substack{\curvearrowright \\ \text{Звено 2}}} { \begin{bmatrix} a_{12} \\ 0 \\ b_{12} \\ \beta_{12} \\ 0 \\ \gamma_{12} \end{bmatrix} } \underset{\substack{\curvearrowright \\ \text{Пара 2}}} { [P_2]^B(\theta_{12}) } \underset{\substack{\curvearrowright \\ \text{Звено 3}}} { \begin{bmatrix} a_{13} \\ 0 \\ 0 \\ 0 \\ c_{13} \\ 0 \end{bmatrix} } \underset{\substack{\curvearrowright \\ \text{Пара 3}}} { [P_3]^C(\theta'_{13}, \theta''_{13}, \theta'''_{13}) } \underset{\substack{\curvearrowright \\ \text{Звено 4}}} { \begin{bmatrix} 0 \\ 0 \\ 0 \\ 0 \\ c_{14} \\ 0 \end{bmatrix} } \underset{\substack{\curvearrowright \\ \text{Пара 4}}} { [P_6]^C(\theta'_{60}, \theta''_{60}, \theta'''_{60}) } \underset{\substack{\curvearrowright \\ \text{Звено 5}}} { \begin{bmatrix} 0 \\ 0 \\ 0 \\ 0 \\ c_{60} \\ 0 \end{bmatrix} } = [E]; \quad (1)$$

контур 2:

$$[P_0] \begin{bmatrix} a_{05} \\ 0 \\ b_{05} \\ \beta_{05} \\ 0 \\ \gamma_{05} \end{bmatrix} [P_5]^B(\theta_{25}) \begin{bmatrix} 0 \\ \alpha_{21} \\ b_{21} \\ \beta_{21} \\ c_{21} \\ \gamma_{21} \end{bmatrix} [P_1]^B(\theta_{21}) \begin{bmatrix} a_{22} \\ 0 \\ b_{22} \\ \beta_{22} \\ 0 \\ \gamma_{22} \end{bmatrix} [P_2]^B(\theta_{22}) \begin{bmatrix} a_{23} \\ 0 \\ 0 \\ 0 \\ c_{23} \\ 0 \end{bmatrix} [P_4]^C(\theta'_{24}, \theta''_{24}, \theta'''_{24}) \begin{bmatrix} 0 \\ 0 \\ 0 \\ 0 \\ c_{25} \\ 0 \end{bmatrix} [P_7]^C(\theta'_{70}, \theta''_{70}, \theta'''_{70}) \begin{bmatrix} 0 \\ 0 \\ 0 \\ 0 \\ c_{70} \\ 0 \end{bmatrix} = [E]. \quad (2)$$

ξ Пара 0 ξ Звено 0 $\begin{matrix} 1 & 2 & 5 \end{matrix}$ Пара 5 ξ Звено 1 $\begin{matrix} 1 & 2 & 5 \end{matrix}$ Пара 1 ξ Звено 2 $\begin{matrix} 1 & 2 & 5 \end{matrix}$ Пара 2 ξ Звено 3 $\begin{matrix} 1 & 4 & 4 & 4 & 4 & 5 \end{matrix}$ Пара 4 ξ Звено 5 $\begin{matrix} 4 & 4 & 4 \end{matrix}$ Пара 7 ξ Звено 0

Символ [E] означает, что контур замкнут.

Пусть $\rho_{l,a-1}^{(Z_{l,a-1})}$ является радиус-вектором точки на звене, содержащем систему координат $X_{l,a-1}Y_{l,a-1}Z_{l,a-1}$, т.е. на звене, которое предшествует кинематической паре $(l, a-1)$, а $\rho_{l,a-1}^{(W_{l,a-1})}$ является радиус-вектором той же точки в системе координат $U_{l,a-1}V_{l,a-1}W_{l,a-1}$ звена, следующим за кинематической парой $(l, a-1)$. Тогда эти два радиус-вектора будут связаны матричным уравнением

$$\rho_{l,a-1}^{(Z_{l,a-1})} = [P_{l,a-1}] \cdot \rho_{l,a-1}^{(W_{l,a-1})} \quad (3)$$

или

$$\begin{bmatrix} 1 \\ X_{l,a-1} \\ Y_{l,a-1} \\ Z_{l,a-1} \end{bmatrix} = [P_{l,a-1}] \cdot \begin{bmatrix} 1 \\ U_{l,a-1} \\ V_{l,a-1} \\ W_{l,a-1} \end{bmatrix}, \quad (4)$$

где матрица $[P_{l,a-1}]$ кинематической пары $(l, a-1)$ в зависимости от ее вида имеет форму. Матрица вращательной кинематической пары имеет вид

$$[P_j]^B(\theta_j) = \begin{bmatrix} 1 & 0 & 0 & 0 \\ 0 & \cos \theta_j & -\sin \theta_j & 0 \\ 0 & \sin \theta_j & \cos \theta_j & 0 \\ 0 & 0 & 0 & 1 \end{bmatrix}. \quad (5)$$

Тогда матрица сферической кинематической пары записывается в форме

$$[P_j]^C(\theta'_j, \theta''_j, \theta'''_j) = \begin{bmatrix} 1 & 0 & 0 \\ 0 & \cos \theta'_j \cdot \cos \theta''_j \cdot \cos \theta'''_j + \sin \theta'_j \cdot \sin \theta''_j & -\cos \theta'_j \cdot \cos \theta''_j \cdot \sin \theta'''_j + \sin \theta'_j \cdot \cos \theta''_j & \cos \theta'_j \cdot \sin \theta''_j \\ 0 & \sin \theta'_j \cdot \cos \theta''_j \cdot \cos \theta'''_j - \cos \theta'_j \cdot \sin \theta''_j & \sin \theta'_j \cdot \cos \theta''_j \cdot \sin \theta'''_j - \cos \theta'_j \cdot \cos \theta''_j & \sin \theta'_j \cdot \sin \theta''_j \\ 0 & \sin \theta'_j \cdot \cos \theta''_j & -\sin \theta'_j \cdot \sin \theta''_j & -\cos \theta'_j \end{bmatrix}. \quad (6)$$

Матричное уравнение связи между радиус-векторами $F_{l,a-1}^{(W_{l,a-1})}$ и $F_{l,a}^{(Z_{l,a})}$ данной точки, измеренными в двух системах $U_{l,a-1}V_{l,a-1}W_{l,a-1}$ и $X_{l,a}Y_{l,a}Z_{l,a}$, жестко связанных на двух концах звена (l,a) , имеет вид

$$F_{l,a-1}^{(W_{l,a-1})} = [T_{l,a-1}] \cdot F_{l,a}^{(Z_{l,a})} \quad (7)$$

или

$$\begin{bmatrix} 1 \\ U_{l,a-1} \\ V_{l,a-1} \\ W_{l,a-1} \end{bmatrix} = [T_{l,a-1}] \cdot \begin{bmatrix} 1 \\ X_{l,a} \\ Y_{l,a} \\ Z_{l,a} \end{bmatrix}. \quad (8)$$

Подставляя значение радиус-вектора $F_{l,a-1}^{(W_{l,a-1})}$ из уравнения (7) в уравнение (3), получаем

$$F_{l,a-1}^{(Z_{l,a-1})} = [P_{l,a-1}] \cdot [T_{l,a-1}] \cdot F_{l,a}^{(Z_{l,a})}. \quad (9)$$

Если исключить верхний индекс $Z_{l,a-1}$ радиус-вектора $F_{l,a-1}^{(Z_{l,a-1})}$ и принять обозначение

$$[A_{l,a-1}] = [P_{l,a-1}] \cdot [T_{l,a-1}], \quad (10)$$

то уравнение (9) принимает вид

$$F_{l,a-1} = [A_{l,a-1}] \cdot F_{l,a}. \quad (11)$$

Последовательно выполняя преобразование (11) для всех звеньев контура и замечая, что все контуры замкнуты, имеем

а) для контура 1

$$[A_{05}] \cdot [A_{15}] \cdot [A_{11}] \cdot [A_{12}] \cdot [A_{13}] \cdot [A_{10}] = [E], \quad (12)$$

б) для контура 2

$$[A_{05}] \cdot [A_{25}] \cdot [A_{21}] \cdot [A_{22}] \cdot [A_{24}] \cdot [A_{20}] = [E], \quad (13)$$

где $[E]$ – единичная матрица.

Уравнения (12) и (13), которые называются матричными уравнениями замкнутости контуров, устанавливают связь между зависимыми и независимыми переменными.

ЛИТЕРАТУРА

1. Baigunchekov Zh.Zh., Nurakhmetov B.K. Kinematics of the Parallel Manipulators with Functionally Independent Drives (Part I & II). The XI World IFToMM Congress. 1-4 April, 2004, Tianjin, China. 1647-1655 p.

Резюме

Кеңістіктік параллель манипулятордың АААСССС түрінің (А – айналмалы, С – сфералық кинематикалық жұп) тұйықталған контурларының символикалық және матрицалық теңдеулері алынды.

Summary

The contours symbolical and matrix equations of the spatial parallel manipulator of a kind RRRSSSS (B – rotary, C – spherical kinematic pairs) are received.

¹Казахстанско-Британский технический университет, г. Алматы;

²Алматинский технологический университет, г. Алматы

Поступила 02.02.06г.